

日本鉄道建設公団 正員 ○ 刈持 三平  
 早稲田大学大学院 学生員 岩崎 三日子  
 早稲田大学理工学部 正員 堀井 健一郎

まえがき 各種材料定数の推定に問題があると思われるが、ここでは一度それらがわかっていることを前提として解析法について検討した結果を報告する。

1. 理論の概要 一般的な Clausius - Duhem 不等式は(1)である。ここで内部散逸関数  $\dot{\psi}$  を導入し、自由エネルギー  $E_{ijkl}$ 、エントロピー  $S_{ijkl}$ 、弹性ひずみ  $E_{ij}^{(e)}$ 、塑性ひずみ  $E_{ij}^{(p)}$ 、粘弹性ひずみ  $dE_{ij}$ 、 $d\dot{\psi}_{ij}$ 、温度  $T$ 、関数とすれば、(2)が成立する。

$$\dot{\psi}_{ij} \dot{E}_{ij} - \rho(\dot{\phi} + \gamma \dot{\theta}) - \frac{\partial}{\partial T} \theta_{ij} \geq 0 \quad (1)$$

$$d\dot{\psi}_{ij} = E_{ijkl}(dE_{kl} - dE_{kl}^p) - B_{ij} dT + \sum_k \dot{\psi}_{ijk} d\dot{\theta}_{ik} = A_{ijkl} dE_{kl} + B_{ij} dT + C_{ijkl} d\dot{\theta}_{ik} \quad (2)$$

エネルギー保存の法則および別々形でのエネルギーのつりあいを示す式を次のように表わす。

$$\int \rho \ddot{U}_i \ddot{U}_j dV + \int \dot{\psi}_{ij} \dot{U}_{ij} dV = \int \rho F_i \ddot{U}_i dV + \int S_i \ddot{U}_i dA \quad \dots \dots (3)$$

要素内の節点の変位と温度を(3)で表わし、要素内の変位の算術的平均と温度は形状関数を用いて(4)で近似する。

$$u_{ni} = u_i(x_n); T_n = T(x_n) \quad \dots \dots (5) \quad u_i = \psi_n(x_i) u_{ni} = \psi_n u_n, T = \psi_n(x_i) T_n = \psi_n T_n \quad \dots \dots (6)$$

(3)は(6)で近似され、また Cauchy の公式の増分形がよび(2)を用いて増分形にすれば

$$\begin{aligned} & \int \rho \psi_n \dot{u}_n dV \dot{u}_{ni} + \int A_{ijkl} \psi_{mn} \dot{u}_{mn} dV d\dot{u}_{kl} + \int B_{ij} \psi_{mn} \dot{u}_{mn} dV \cdot dT + \int C_{ijkl} \psi_{mn} \dot{u}_{mn} dV d\dot{\theta}_{ik} \\ & = \int \rho \psi_n \Delta F_i dV + \int dS_i \psi_n dS. \end{aligned} \quad (7)$$

(4)を増分形にし、(8)の(2)の関係式を代入すれば(3)が成り立つ。(3)を簡略化した式を(8)に表わす。

$$\begin{aligned} \rho d\dot{\psi} &= (B_{ij} \dot{\theta}_{ij} - B_{ij}) dE_{ij} + (\beta_{ij} B_{ij} - \frac{\partial}{\partial T} dT) + B_{ij} \dot{\theta}_{ij} dE_{kl} + B_{ij} \dot{\theta}_{ij} dT + (B_{kl} \dot{\theta}_{kl} - B_{ij}) d\dot{\theta}_{ij} + B_{ij} \dot{\theta}_{ij} dd\dot{\theta}_{ij} \\ & = \rho Z_{ij} dE_{ij} + Z dT + Z Z_{ij} dE_{ij} + Z Z_{ij} dT + Z Z_{ij} dd\dot{\theta}_{ij} + 4Z_{ij} d\dot{\theta}_{ij} \end{aligned} \quad (8)$$

$$\rho \dot{\psi} = - (B_{ij} \dot{\theta}_{ij} + \frac{\partial}{\partial T} dT) = Z_{ij} dE_{ij} + Z dT \quad \dots \dots (9) \quad \dot{\theta}_{ijkl} = \hat{G} A_{ijkl} \frac{\partial F}{\partial \theta_{ij}} \frac{\partial F}{\partial \theta_{kl}}, \quad \beta_{ij} = \hat{G} \left( \frac{\partial F}{\partial \theta_{mn}} C_{mn} + \frac{\partial F}{\partial \theta_{ij}} \right) \frac{\partial F}{\partial \theta_{ij}} dT \quad \dots \dots (10)$$

$$\begin{aligned} \hat{G} &= - \frac{1}{\frac{\partial \dot{\theta}_{ij}}{\partial \theta_{ij}} - \frac{\partial \dot{\theta}_{ij}}{\partial \theta_{mn}}} \quad \dots \dots (11) \\ d\dot{\theta} &= \left[ \frac{\partial \dot{\theta}_{ij}}{\partial \theta_{ij}} + \left( \frac{\partial \dot{\theta}_{mn}}{\partial \theta_{mn}} - \frac{\partial \dot{\theta}_{ij}}{\partial \theta_{mn}} \right) \dot{\theta}_{ijmn} \right] dE_{ij} + \left[ B_{mn} \left( \frac{\partial C}{\partial \theta_{mn}} - \frac{\partial C}{\partial \theta_{ij}} \right) + \frac{\partial C}{\partial \theta_{ij}} \right] dT + \left[ \frac{\partial C}{\partial \theta_{mn}} + \left( \frac{\partial C}{\partial \theta_{mn}} - \frac{\partial C}{\partial \theta_{ij}} \right) \dot{\theta}_{ijmn} \right] d\dot{\theta}_{ij} \end{aligned}$$

$$= - Z_{ij} dE_{ij} + Z Z dT + Z Z_{ij} d\dot{\theta}_{ij} \quad \text{ただし } \dot{\theta}_{ijmn} d\dot{\theta}_{ij} = d\dot{\theta}_{ij}^2 \quad (12)$$

$$\begin{aligned} & \int Z_{ij} \psi_n \dot{u}_n (T_0 + \psi_n T_k) dV \cdot d\dot{u}_{kl} + \int Z \psi_n \dot{u}_n (T_0 + \psi_n T_k) dV \cdot d\dot{T} + \int \psi_n (T_0 + \psi_n T_k) (\dot{u}_{kl} dV \cdot d\dot{u}_{kl} + Z \dot{u}_n dV \cdot d\dot{T}) \\ & + Z Z_{ij} \psi_{mn} dV \cdot d\dot{u}_{kl} + Z Z_{ij} d\dot{u}_{kl} + Z Z_{ij} d\dot{T} + Z Z_{ij} d\dot{\theta}_{ij} dV + Z Z_{ij} d\dot{\theta}_{ij} d\dot{T} + \int \lambda_{ij} \psi_{mn} \dot{u}_{mn} dT dV - \int \psi_n Z_{ij} \dot{u}_{mn} dV d\dot{u}_{mn} \\ & - \int \psi_n Z_{ij} d\dot{u}_{mn} dT - \int \psi_n Z_{ij} d\dot{\theta}_{ij} dV = \int \psi_n d\theta_{ij} dS + \int \psi_n d\theta_{ij} dV \end{aligned} \quad (13)$$

$$a_{MN} d\dot{u}_{MN} + b_{MN} d\dot{T} + c_{MN} d\dot{u}_{MN} + w_{MN} d\dot{T} = dZ_n \quad (14)$$

(7)(14)を領域全体に対して重ねあわせた境界条件を解けば、熱連成粘弾塑性応力問題は解ける。非連成の場合には(13)式中  $Z_{ij}$  ( $i=1, 5$ ) が零となるので、 $b_{MN} d\dot{T} + w_{MN} d\dot{T} = dZ_n$  となる。

2. 数値計算例 図1に示す要素分割で  $15^{\circ}\text{C}$  に放置された  $1 \times 1 \times 55 \text{ mm}^3$  の供試体、端に  $600^{\circ}\text{C}$  で 2.5 秒加熱後、 $15^{\circ}\text{C}$  に放置する際の供試体の温度分布が図2である。ここで実線は川下の解析であり、差分間隔は 0.01 秒である。図3は節点番号 1, 6, 9 の各々の経過時間と温度の関係である。 弾性係数  $E$ 、線膨張係数  $\alpha$  の温度依存性を考慮して、図1の供試体の熱伝導方程式の解を弾塑性プログラムに Input した結果が図4である。ただし、境界条件は長方形ののみ移動可能とした。図5は左端の要素の各温度に対する応力である。なお点線は上述の温度による軟化を考慮した場合である。図6は残留応力である。実線は  $E$ 、 $\alpha$  の温度依存性を考慮したものであり、点線はしないものである。

図-1

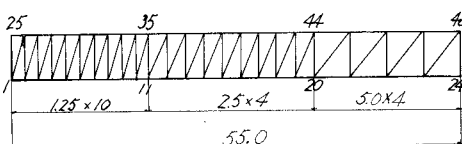


図-2

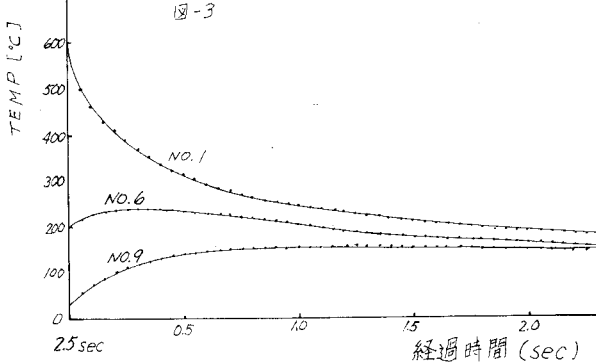
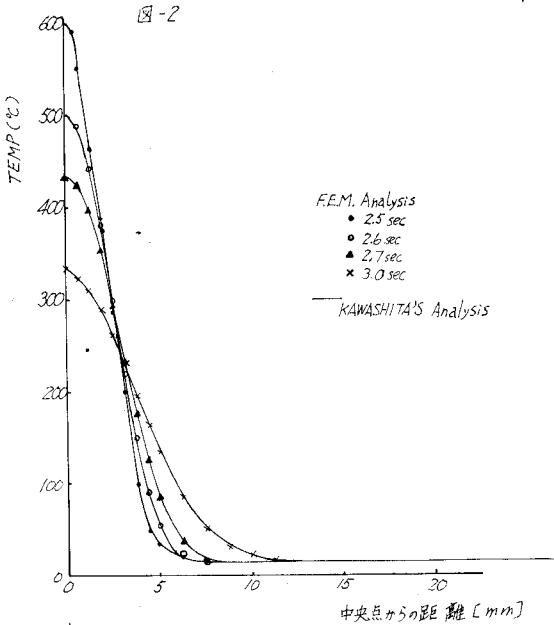


図-4

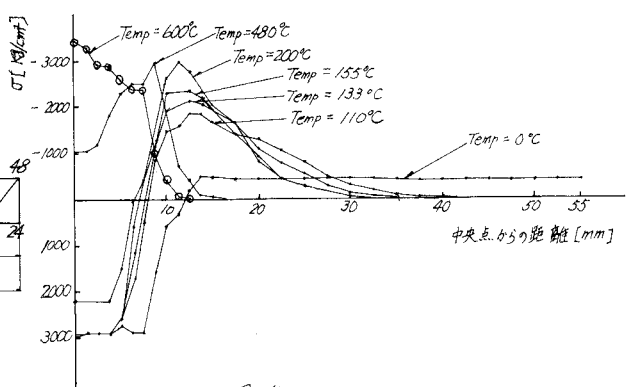


図-5

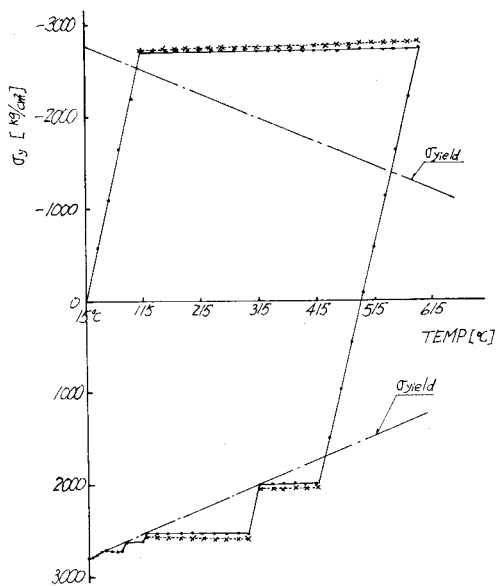
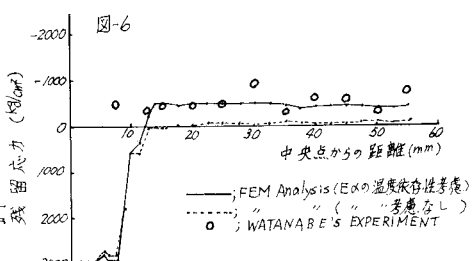


図-6



この研究には三菱重工 森繁氏の協力があつたことを付記し深甚なる謝意を表する。